

# 单一液滴凍結法に基づく 大気中氷晶核粒子における 個別粒子特性の解明

金沢大学 岩田 歩  
松木 篤

# 混合相雲と氷晶核



氷晶核は大気中エアロゾル粒子 $10^5$ 個に 1 個 (DeMott et al., 2008)

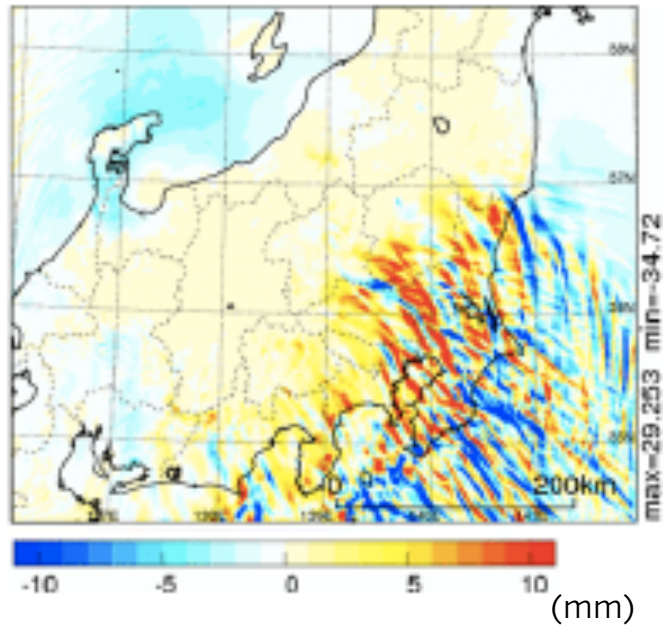
# 氷晶核の影響



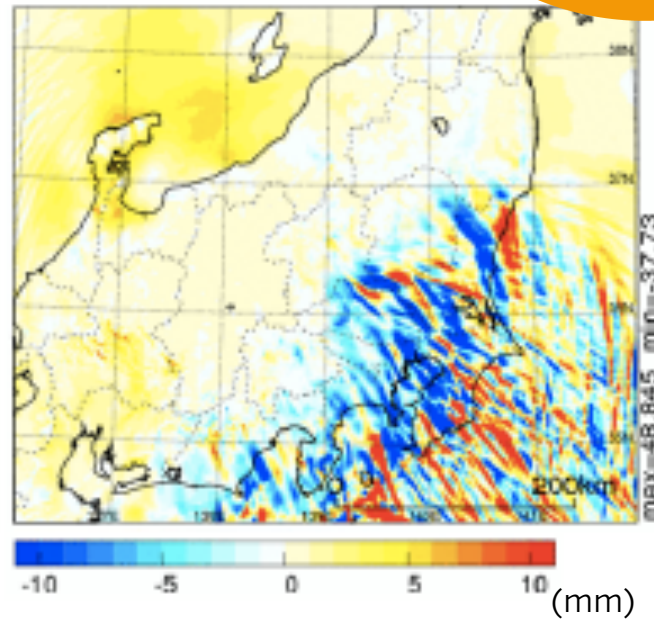
氷晶核の降水過程への影響大

IN0.1-INdef

積算降雨量差(33h)



IN10-INdef

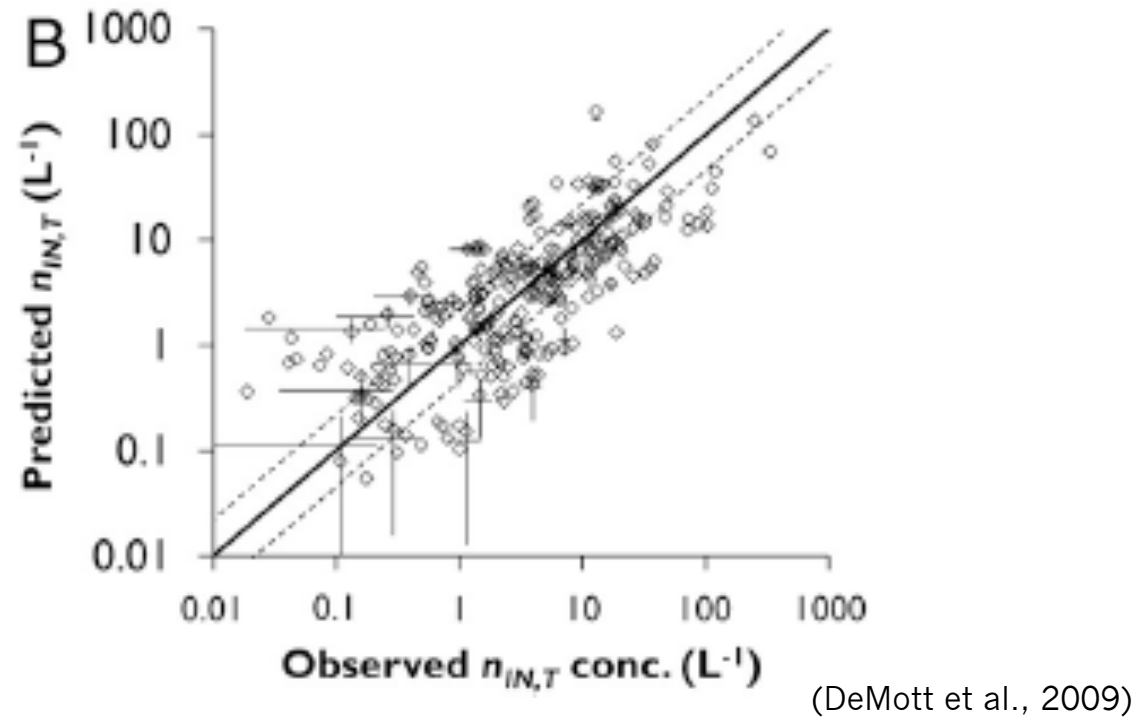


(Araki and Murakami, 2015)

大気中の氷晶形成を予測する必要性大

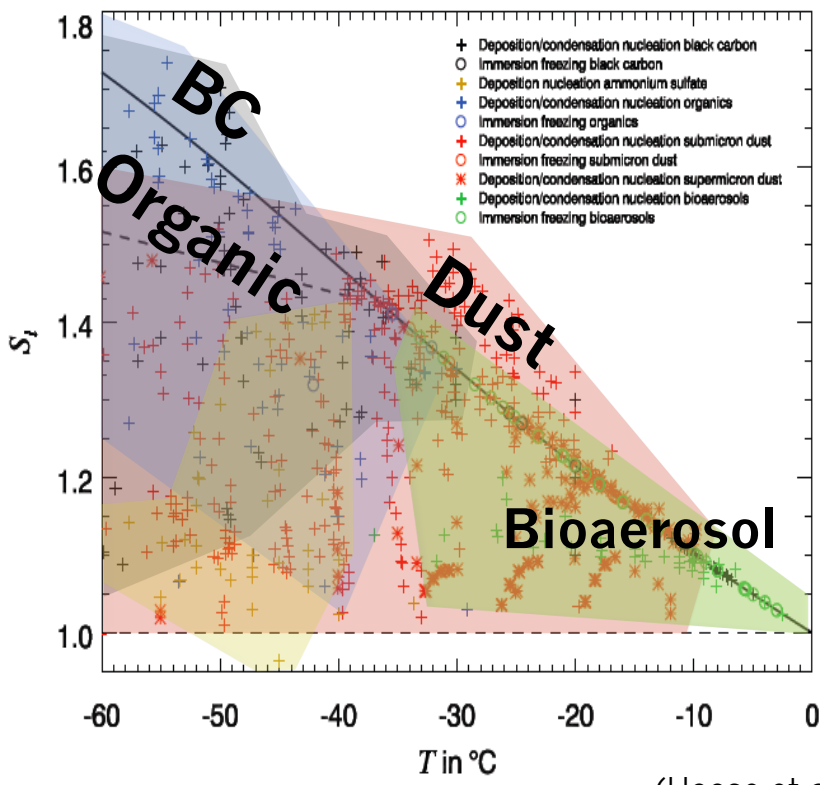
# 氷晶形成の予測

大気中における氷晶形成の予測には不確定性大

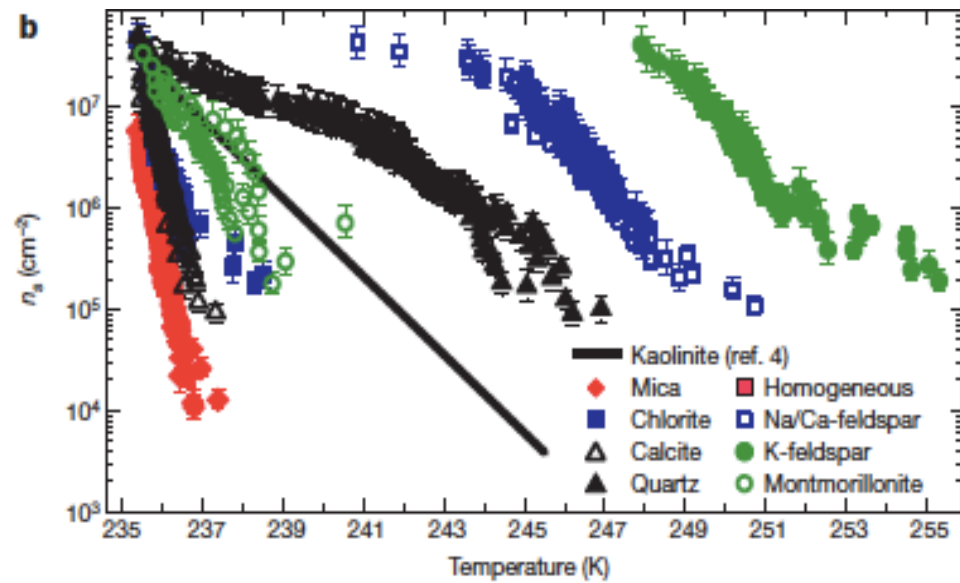


大気中の氷晶核となりうるエアロゾル粒子の理解

# 氷晶核となるエアロゾル粒子



(Hoose et al., 2010)



(Atkinson et al., 2010)

# 目的

実大気中のエアロゾル粒子は極めて複雑

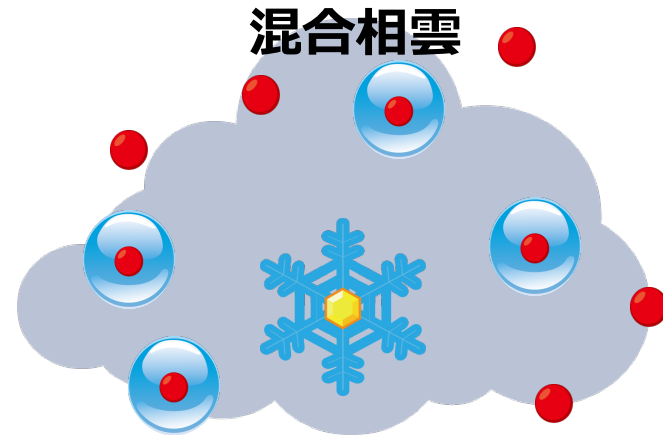
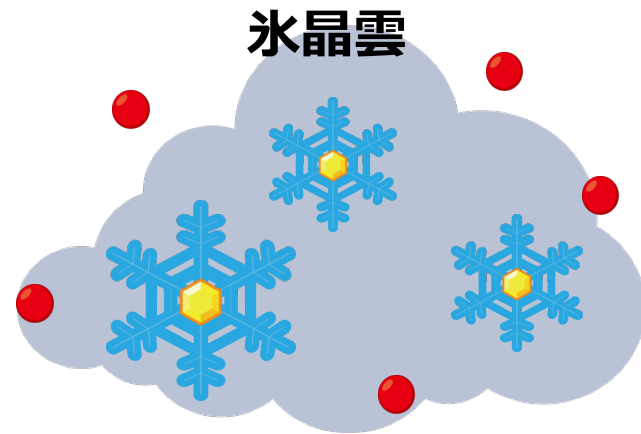


実大気中の氷晶核を理解  
(物理的・化学的特徴)

- ・室内実験結果の実証
- ・実大気レベルでの混合状態

(氷晶形成における要因や特徴の解明→予測向上へ)

# 実大気中の氷晶核採取

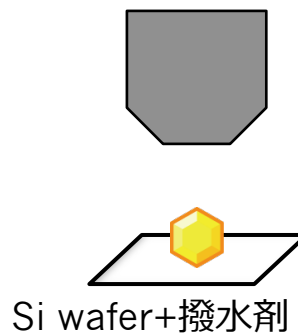


- 分取精度
- ライミング
- 氷晶形成情報

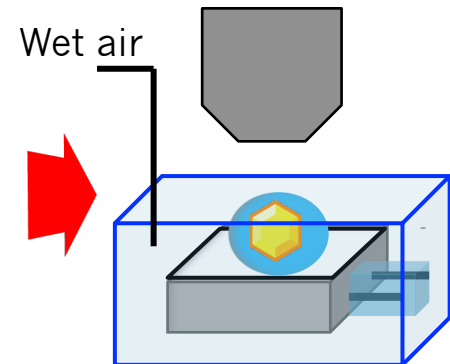
実際の混合相雲における氷晶核の採取は技術的に困難

# 個別液滴凍結法

## Observation

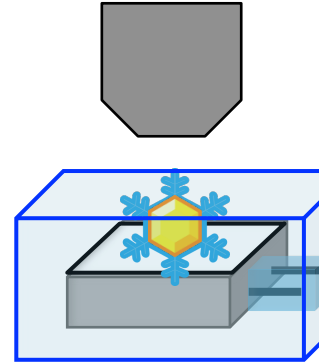


## Condensation



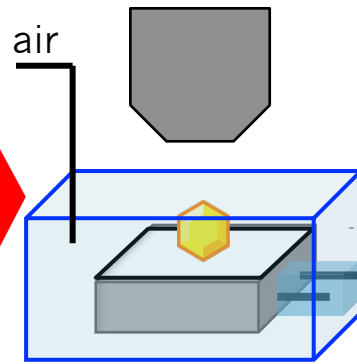
水過飽和

## Freezing

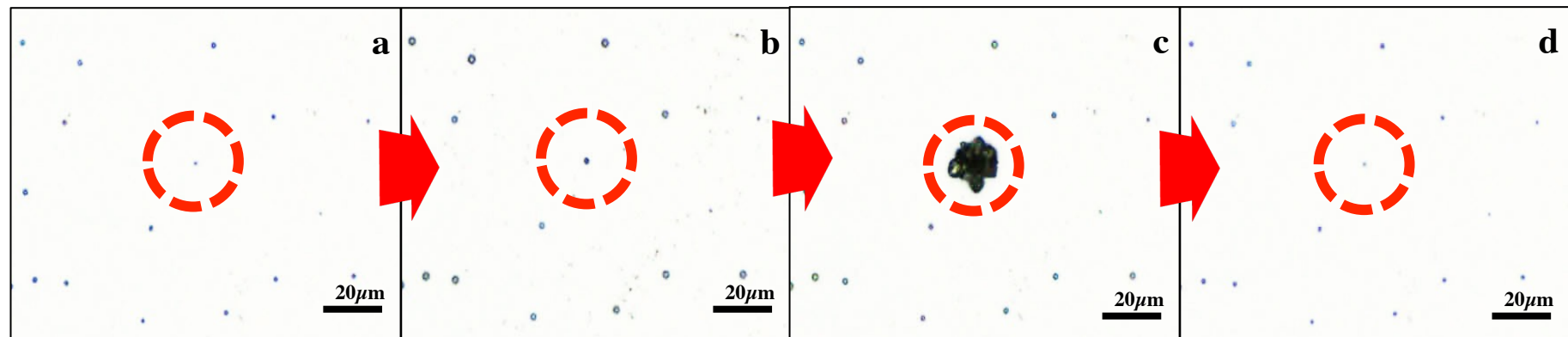


冷却・凍結(-30 °C)

## Drying



氷未飽和



実大気エアロゾルにおける氷晶核の直接的な分析が可能

# Results

## Ice nucleation experiments

### 標準粒子

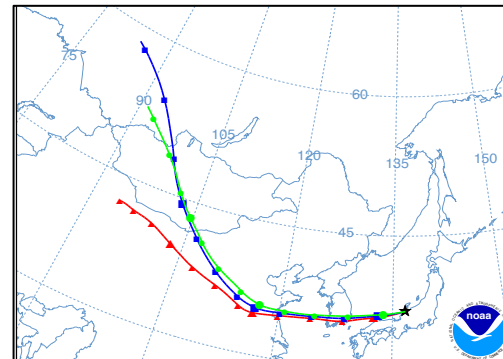
samples	Onset Temp. (°C)
純水	-36.5
カリ長石	-20.3
曹長石	-20.7
石英	-25.7
カオリナイト	-31.6
ATD ( $D_p > 1.1\mu\text{m}$ )	-22.5
砂漠砂 ( $D_p > 1.1\mu\text{m}$ )	-26.6

### 大気エアロゾル( $D_p > 1.1\mu\text{m}$ )

	2/28	4/10
粒子	10,188	24,145
凍結粒子	37	122
活性率 ( $D_p > 1.1\mu\text{m}$ )	3.6E-03	5.6E-03

96%の粒子が-26°C以下で氷晶形成

(a) 28 February 2016



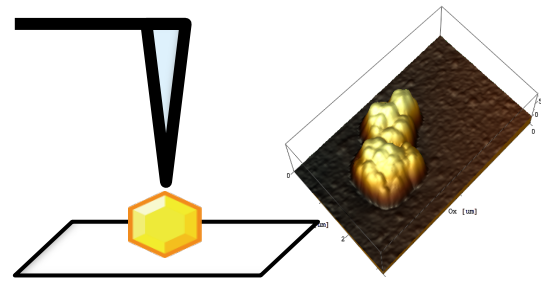
(b) 10 April 2016



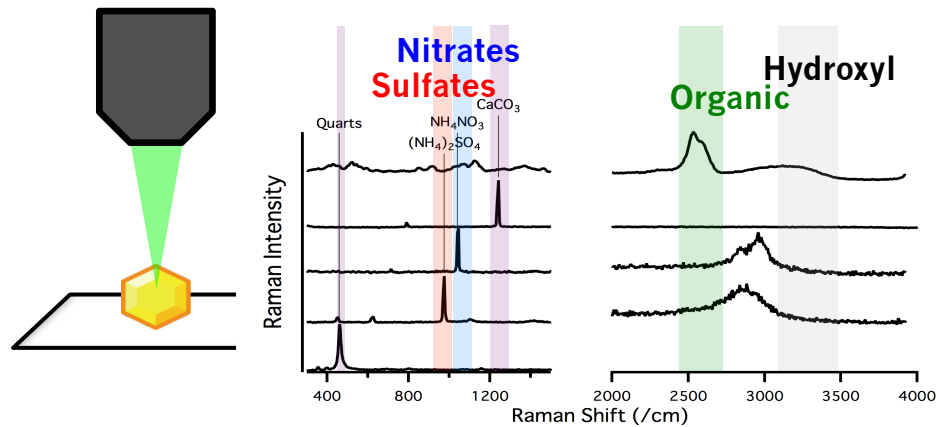
# 個別粒子分析

## 大気圧下での個別粒子分析

### 原子間力顕微鏡(AFM)

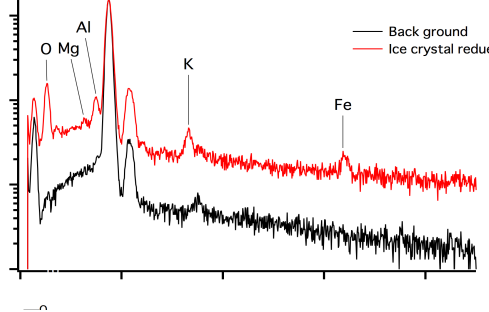
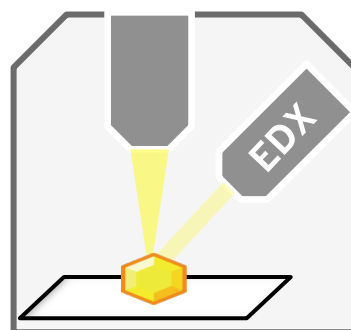


### 顕微ラマン分光法



### 粒子の元素組成の分析

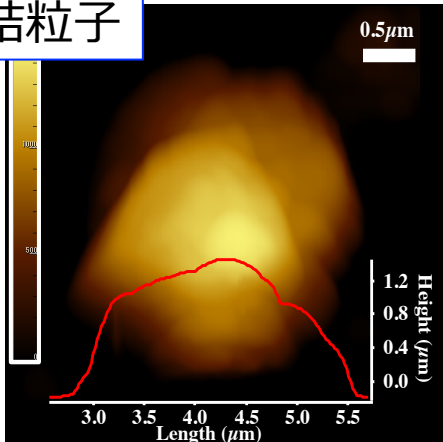
### SEM-EDX



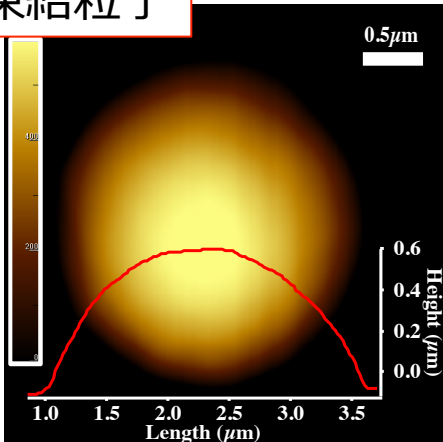
# Results

AFM

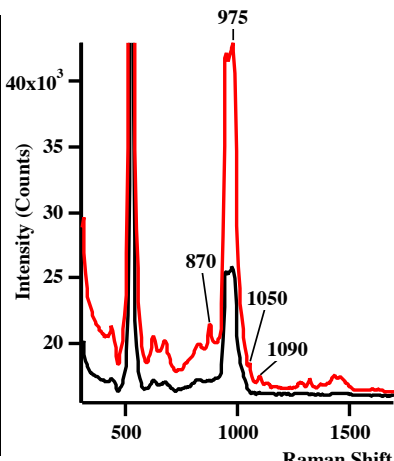
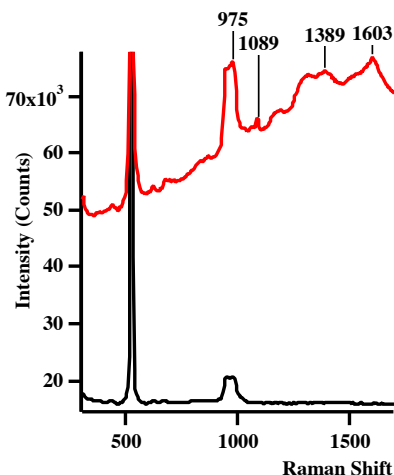
凍結粒子



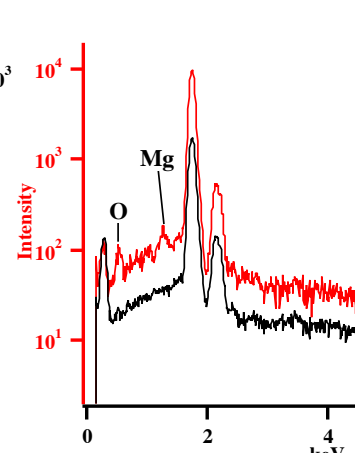
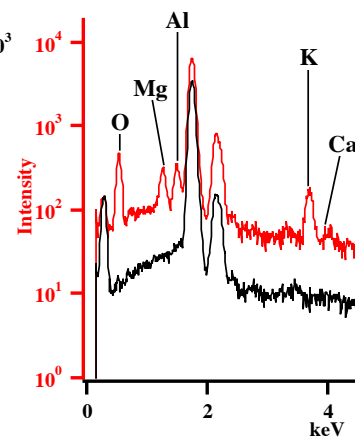
非凍結粒子



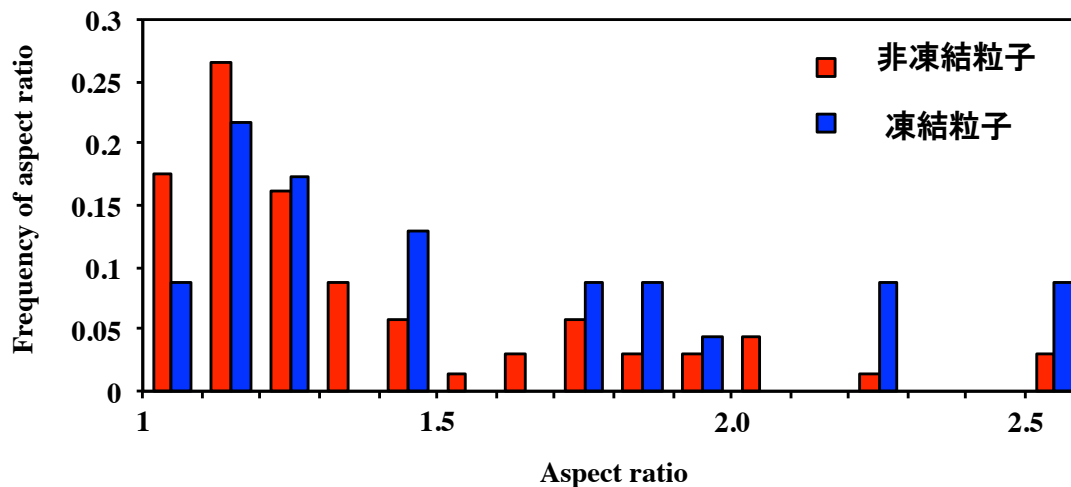
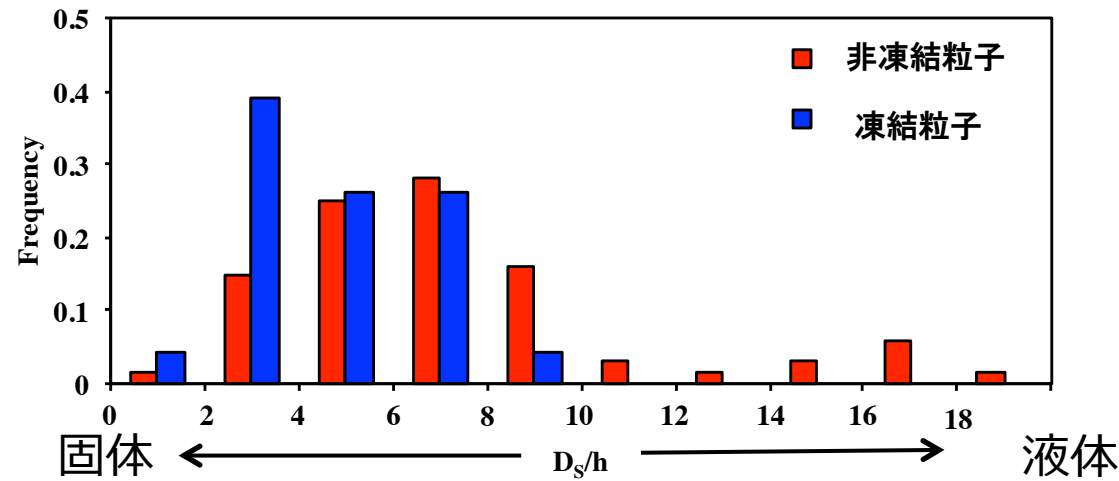
micro-Raman



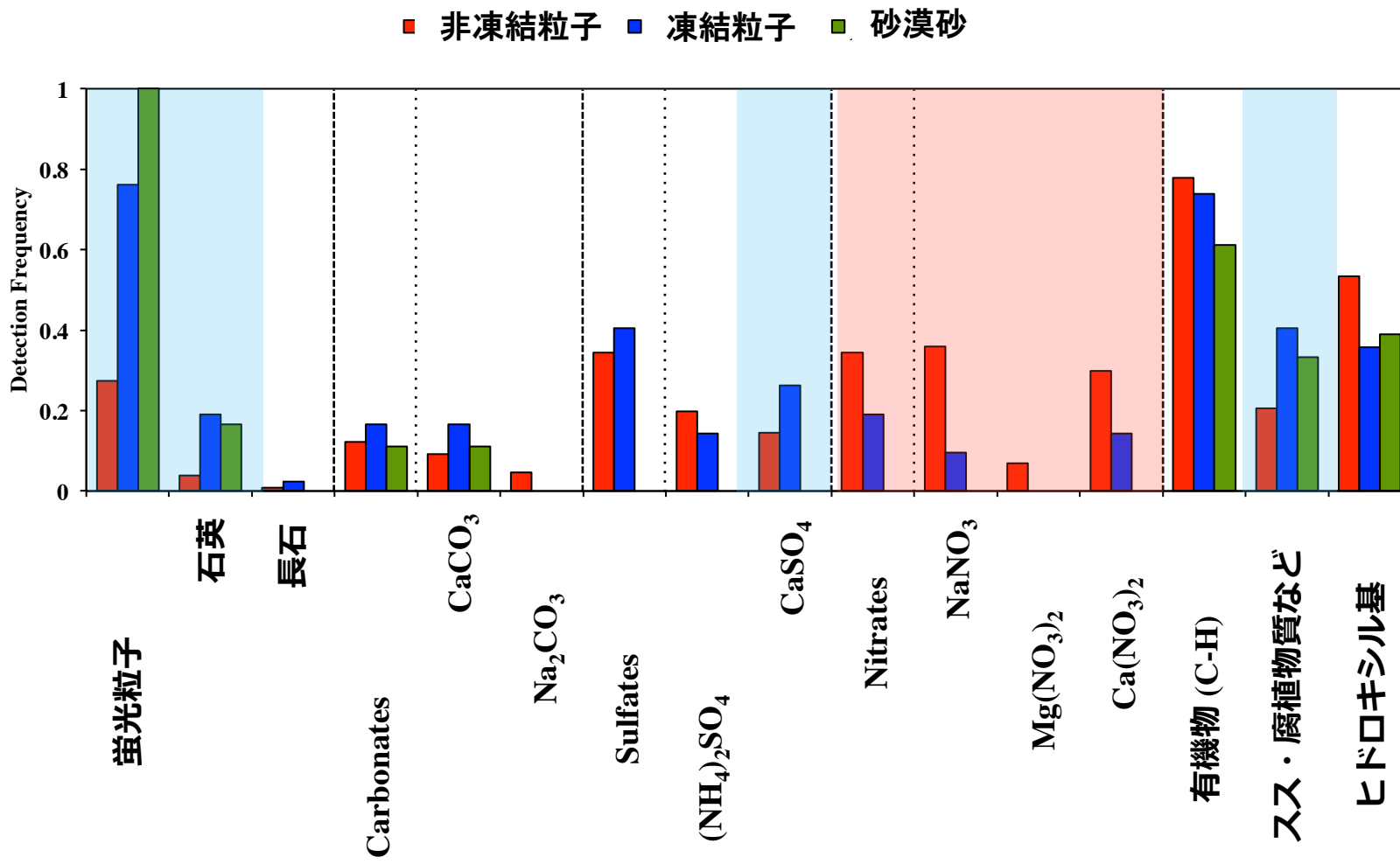
EDX



# Results Observation of atmospheric particles by AFM

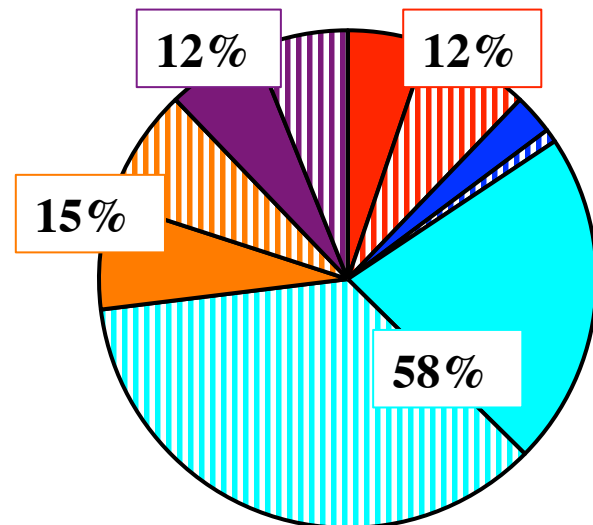


# Results Analysis by micro-Raman spectroscopy

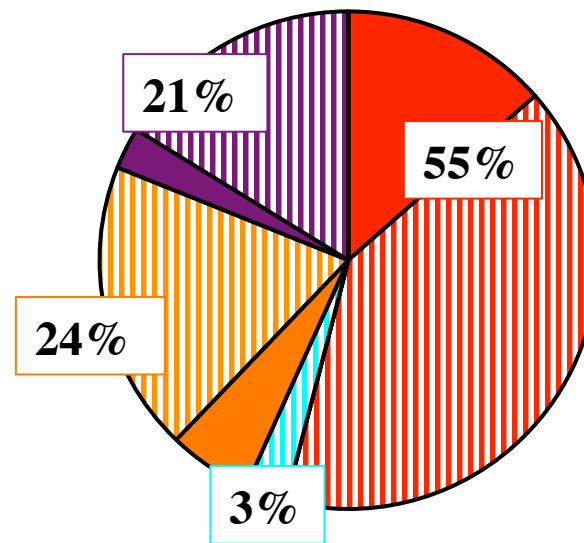


# Results Analysis by SEM-EDX

非凍結粒子



凍結粒子



- Mineral dust
- Sea salts (flesh)
- Sea salts (aged)
- Sulfates
- Ca-rich
- Other

- Mineral dust + inclusion
- Sea salts (flesh) + inclusion
- Sea salts (aged) + inclusion
- Sulfates + inclusion
- Ca-rich + inclusion

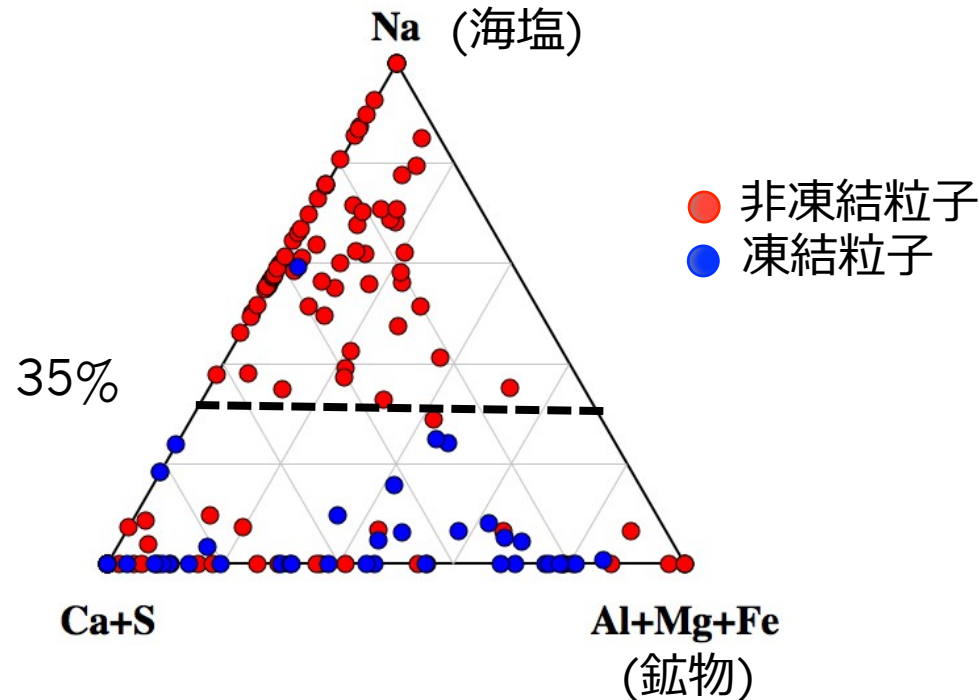
# ここまでまとめ

- ・大気エアロゾル粒子の96%が-26°C以下で氷晶形成

	凍結粒子	非凍結粒子
AFM	固体かつイレギュラー	球形
Raman	蛍光粒子(粘土鉱物) 石英 $\text{CaSO}_4$ (スス・腐植物質など)	硝酸塩
EDX	鉱物粒子 硫酸塩+inclusion Ca-rich+inclusion	海塩粒子

有機物の検出による違いはなし

# 海塩粒子

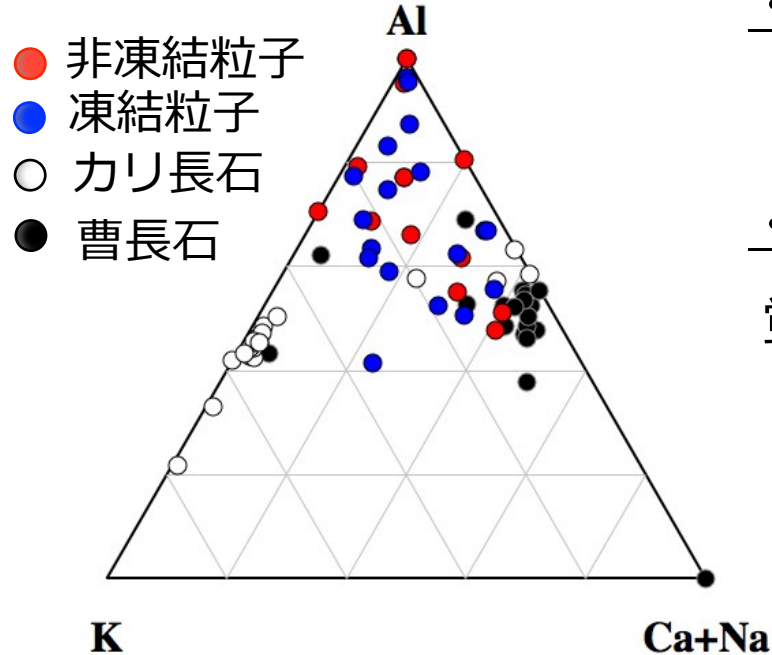


35%以上の海塩との混合が氷晶形成の阻害要因



海洋上の輸送が氷晶形成に負の影響を与える

# 鉱物粒子



## ・凍結温度

すべての粒子が-24℃以下で凍結

## ・顕微ラマン分光法

蛍光粒子 ←

- 粘土鉱物内の有機物
- 結晶構造内の不純物や構造欠損

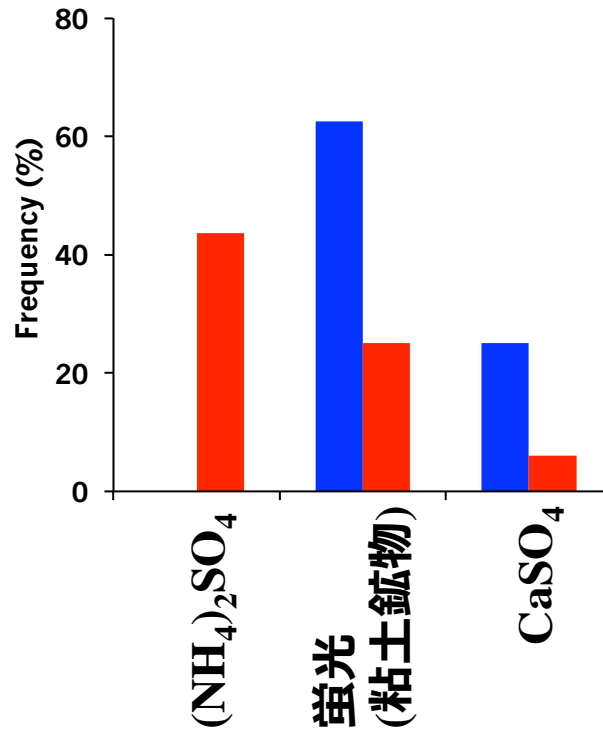
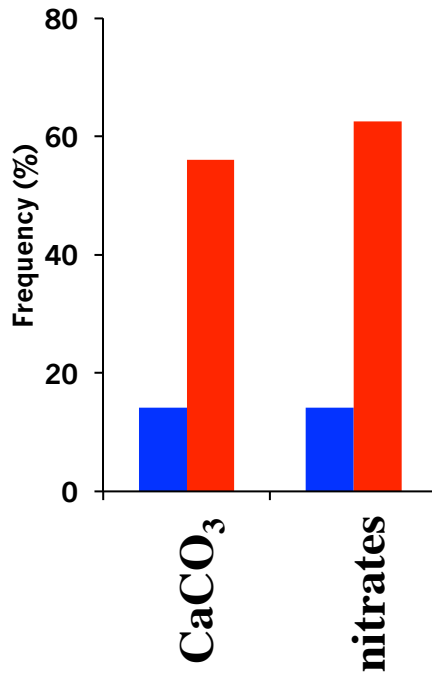
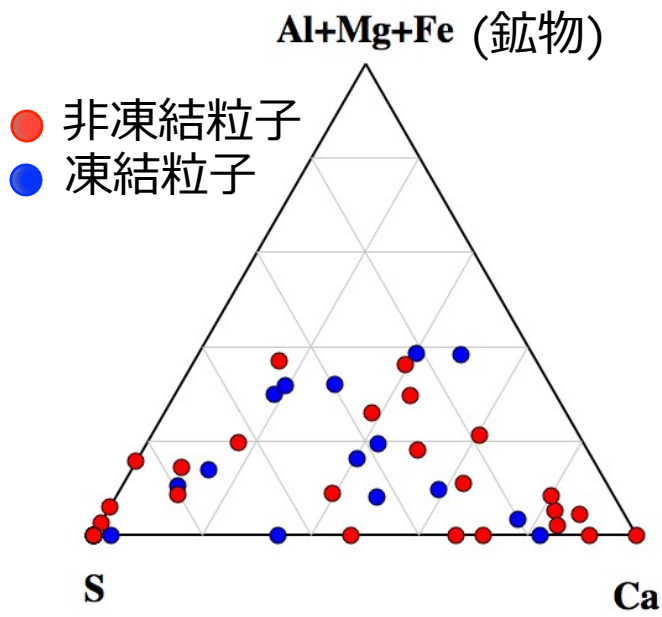
長石: 2%

石英: 19%

鉱物中では粘土鉱物粒子や  
鉱物混合粒子が支配的であり、純粹な長石粒子は稀

鉱物組成の違いによる氷晶形成への影響は小さい

# 硫酸塩&Ca-rich



純粋な $(\text{NH}_4)_2\text{SO}_4$ と

純粋な $\text{CaCO}_3$ (カルサイト)と硝酸塩との混合は氷晶形成 X

$(\text{NH}_4)_2\text{SO}_4$ はカルサイトや粘土鉱物との混合によって氷晶形成 X → ○

# まとめ

- ・個別液滴凍結法により、比較的簡便に氷晶を形成する粒子の分析が可能
- ・鉱物粒子(特に粘土鉱物)が氷晶形成○に対し海塩粒子は氷晶形成×
- ・実大気中における粒子の鉱物組成は氷晶形成に寄与していない
- ・海洋上を輸送される過程での海塩との混合は氷晶形成○→×
- ・純粋な $(\text{NH}_4)_2\text{SO}_4$ やカルサイトは氷晶形成×
- ・一方で純水な $(\text{NH}_4)_2\text{SO}_4$ はカルサイトとの混合により氷晶形成×→○



これまでの室内実験結果に対して実大気における実証  
と輸送過程における粒子の混合状態の調査

氷晶形成の予測には  
大気中の粘土鉱物粒子と輸送過程における粒子の混合状態も重要